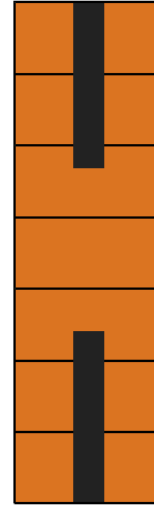


鋼板挿入集成材梁の樹種とせん断挙動

環境構造工学講座

大黒屋 信英

$$v = \frac{P\ell^3}{48EI} + \frac{P\ell}{4kGA}$$



$$EI = E_{\text{木}}I_{\text{木}} + E_{\text{鋼}}I_{\text{鋼}}$$

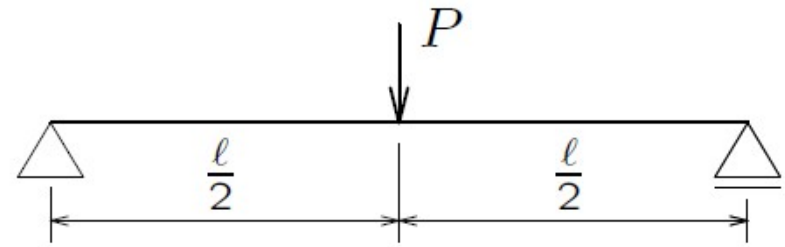
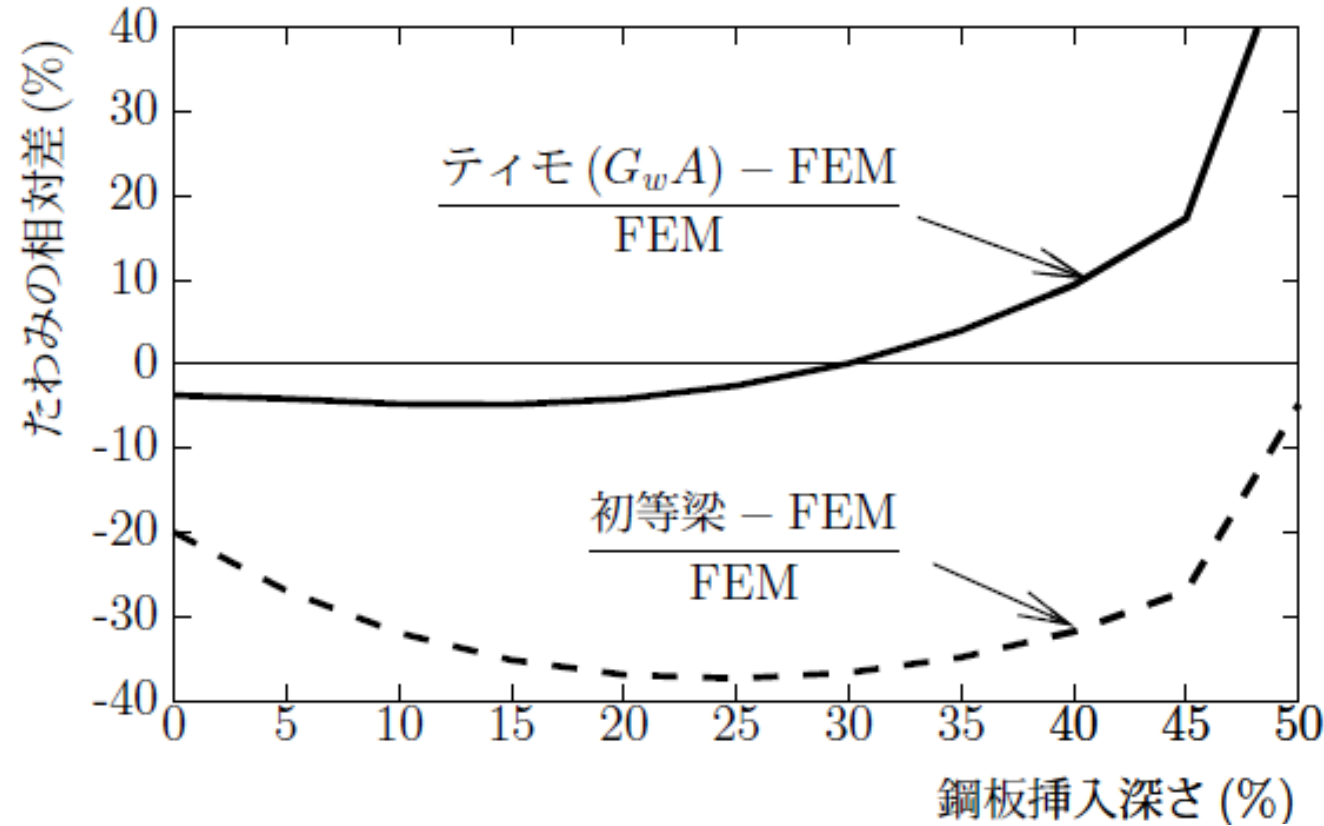
$$GA \neq G_{\text{木}}A_{\text{木}} + G_{\text{鋼}}A_{\text{鋼}}$$

曲げは大きく改善!

せん断は改善されない!

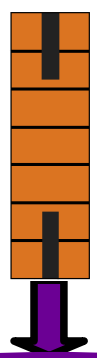
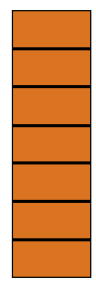
せん断変形が大きい!

鋼板挿入の影響



$l = 2\text{m}, P = 10\text{kN}$

$$v_{\text{初等}} = \frac{Pl^3}{48EI}$$



せん断変形最大

$$v_{\text{ティモ}} = \frac{Pl^3}{48EI} + \frac{Pl}{4kGA}$$

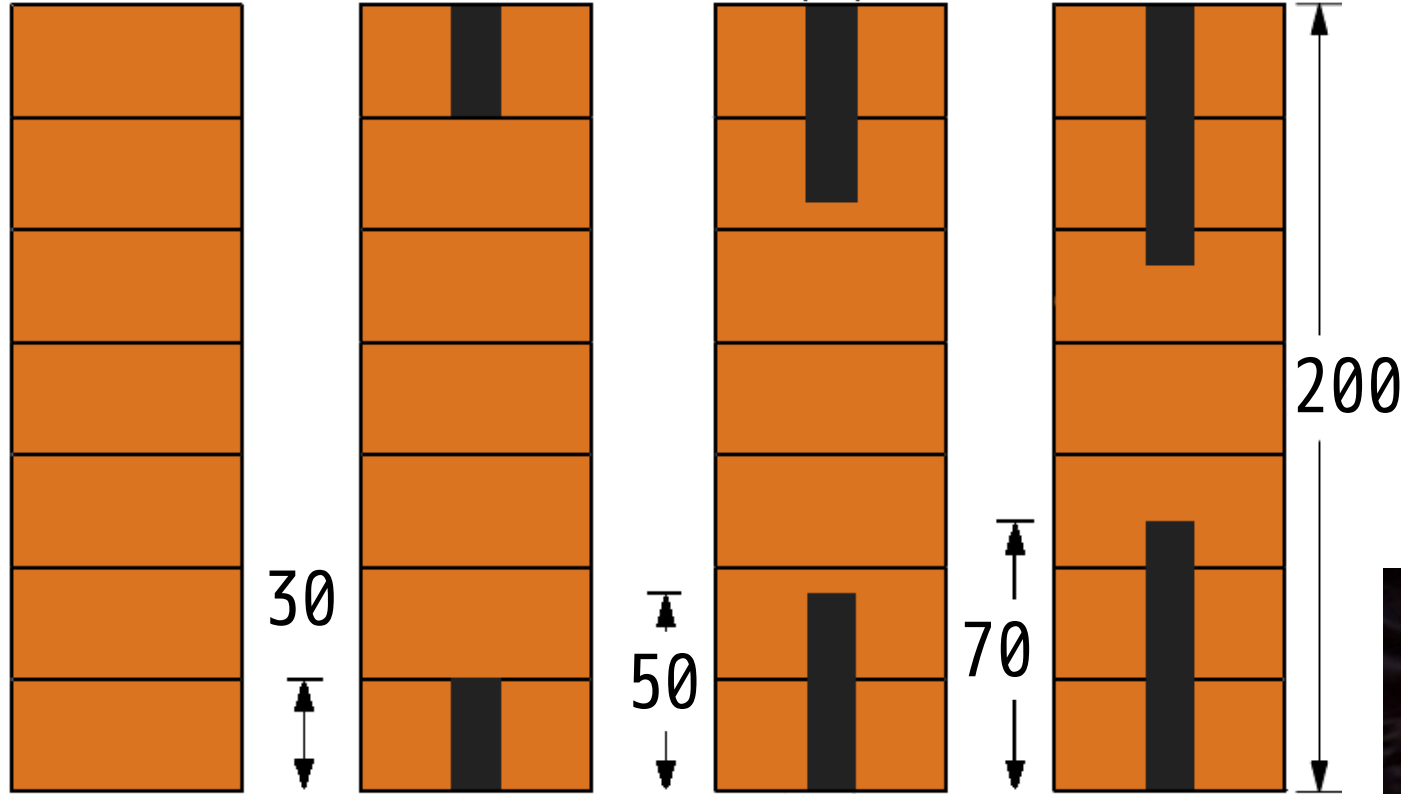
実験モデル

0%

15%

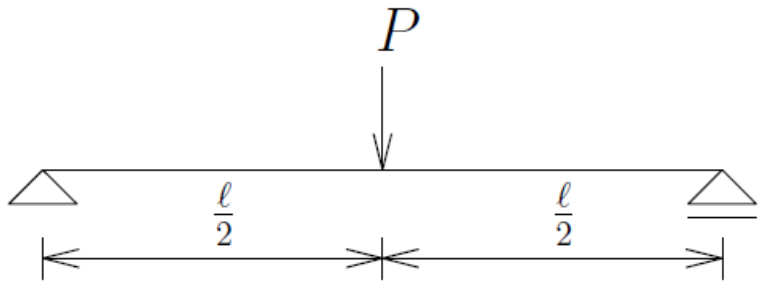
25%

35% (mm)



スギ集成材
ヤング率
7.5GPa

カラマツ集成材
ヤング率
16.6GPa



曲げ試験より
 E と G を求める
 (ASTM D198-05)



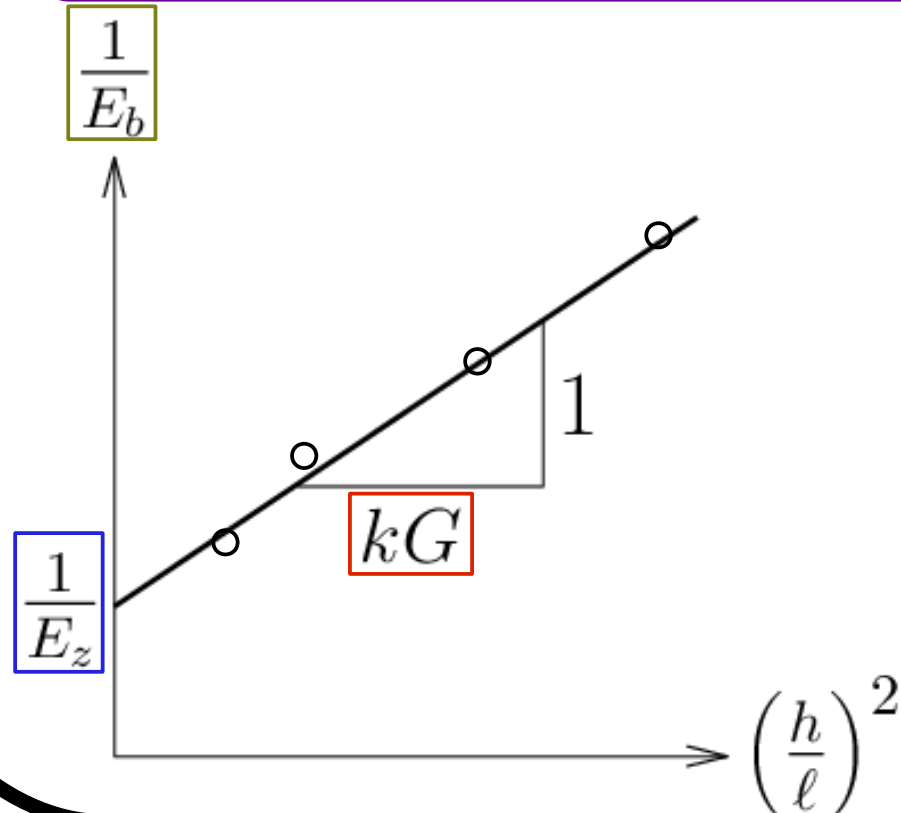
鋼板挿入集成材
 =異方性 $k \neq \frac{5}{6}$



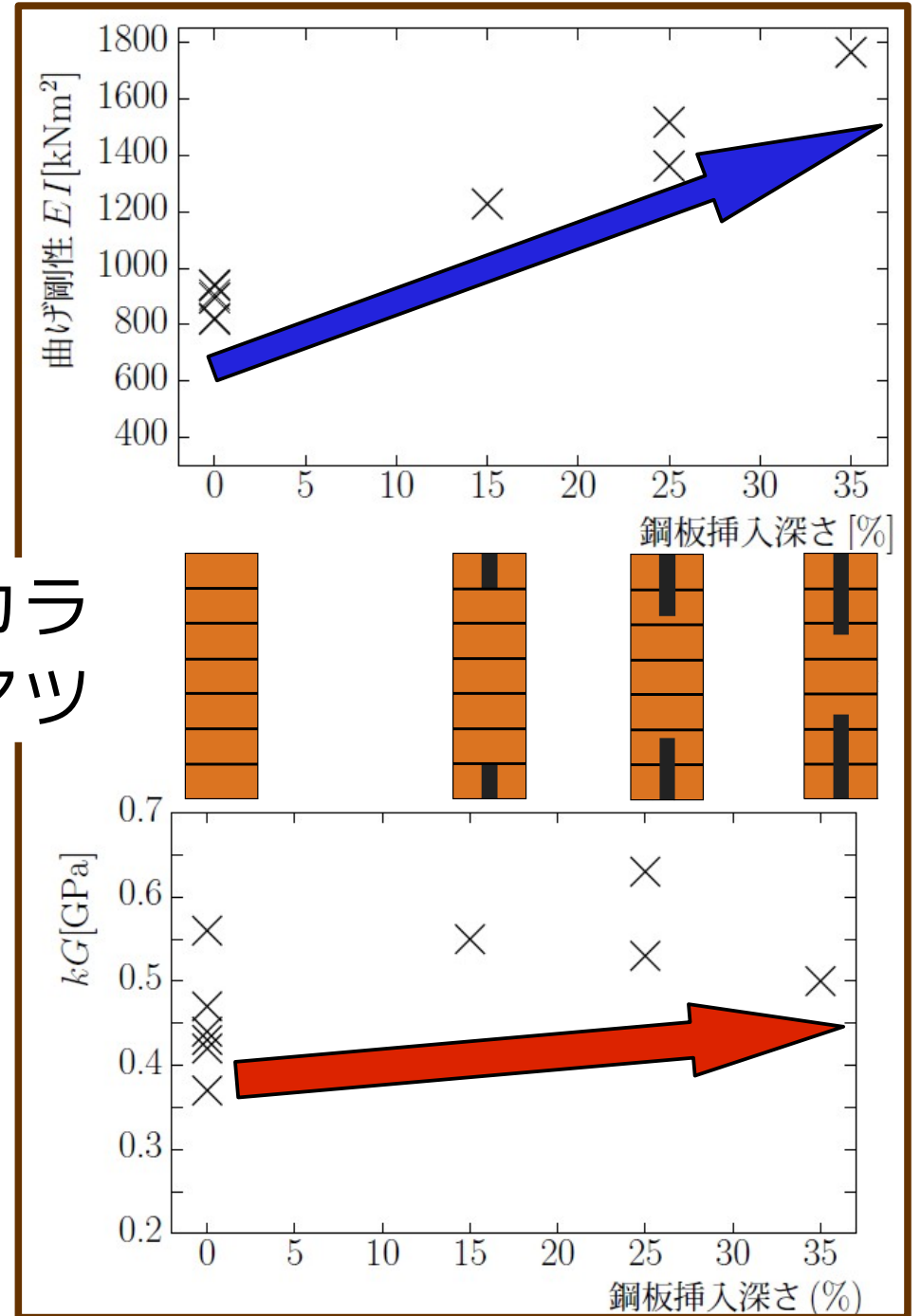
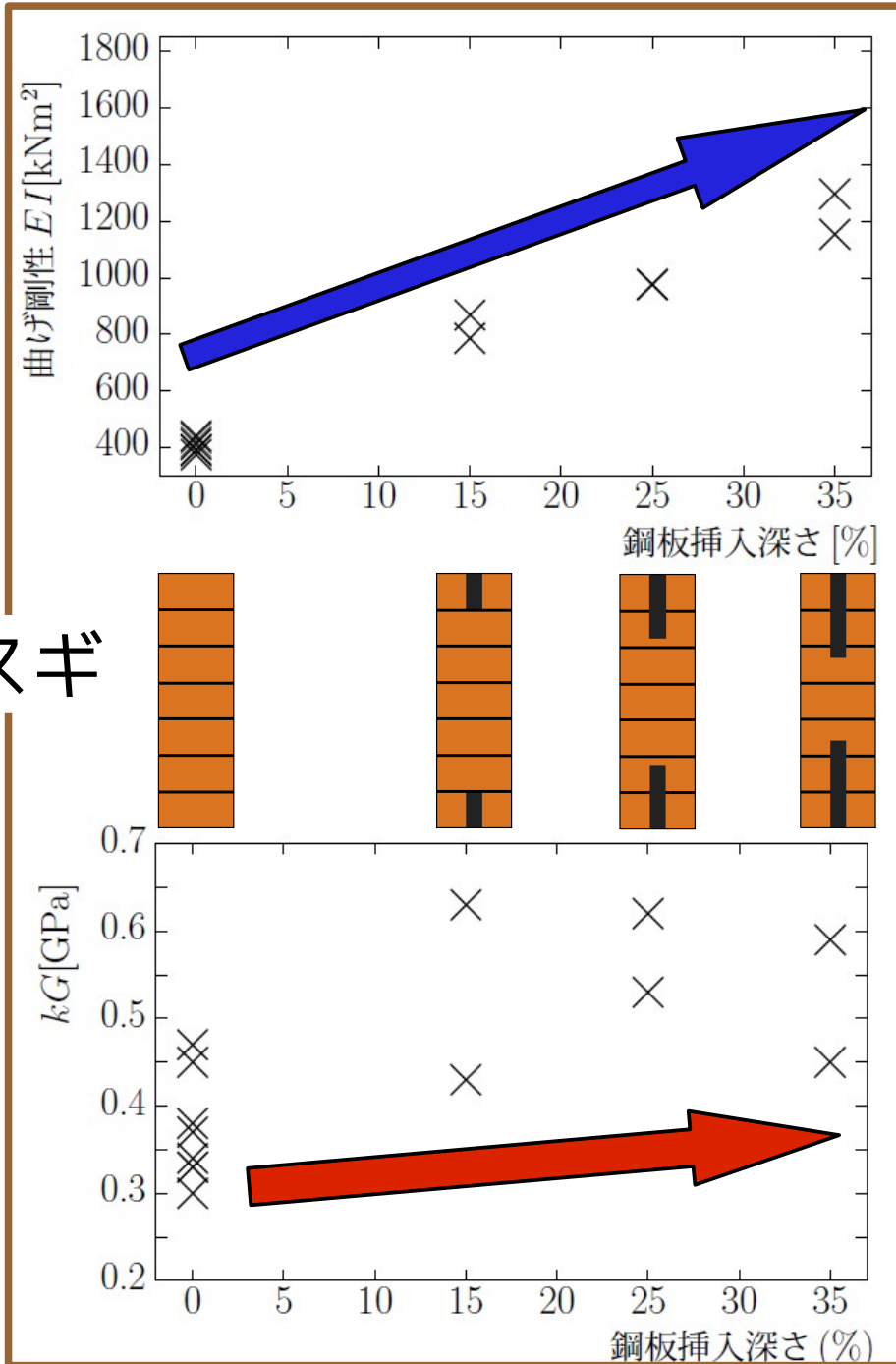
せん断弾性 kG
 として推定

$$\frac{P\ell^3}{48E_b I} = \frac{P\ell^3}{48E_z I} + \frac{P\ell}{4kGA}$$

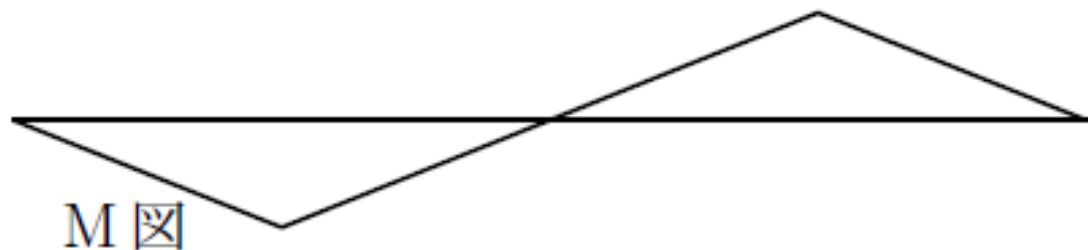
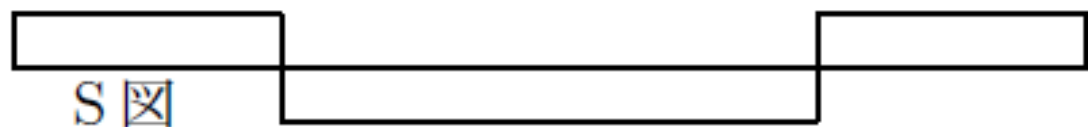
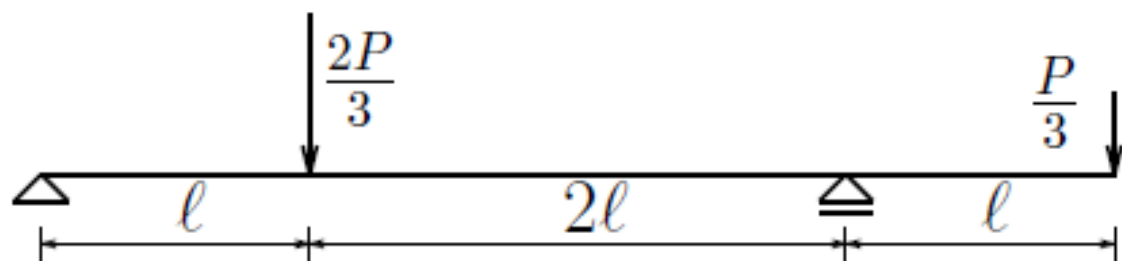
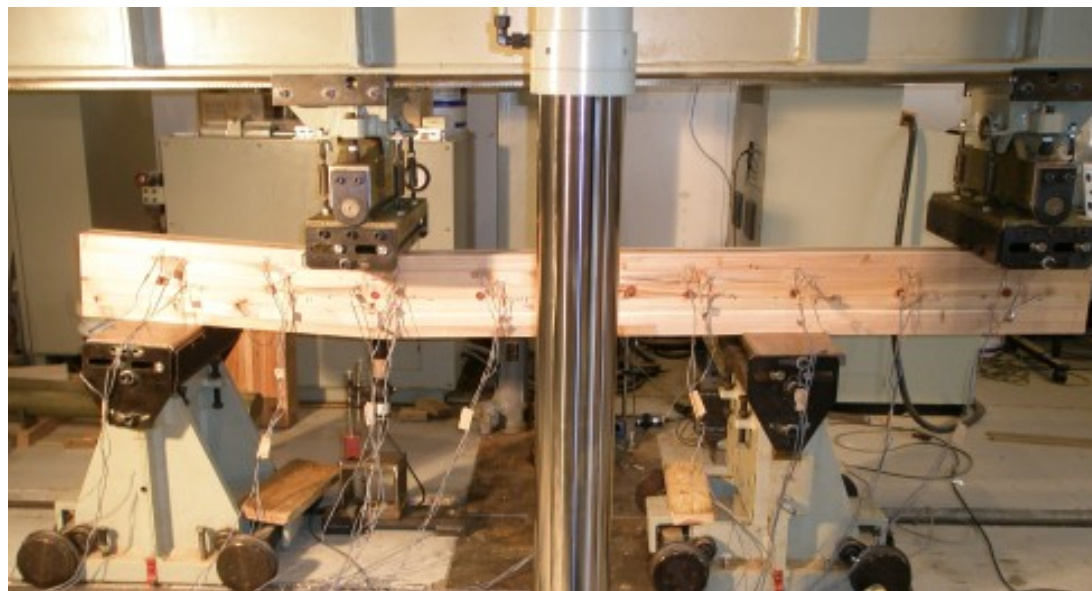
$$\frac{1}{E_b} = \frac{1}{E_z} + \frac{1}{kG} \left(\frac{h}{\ell}\right)^2$$



EI と kG の測定



逆対称4点曲げ試験



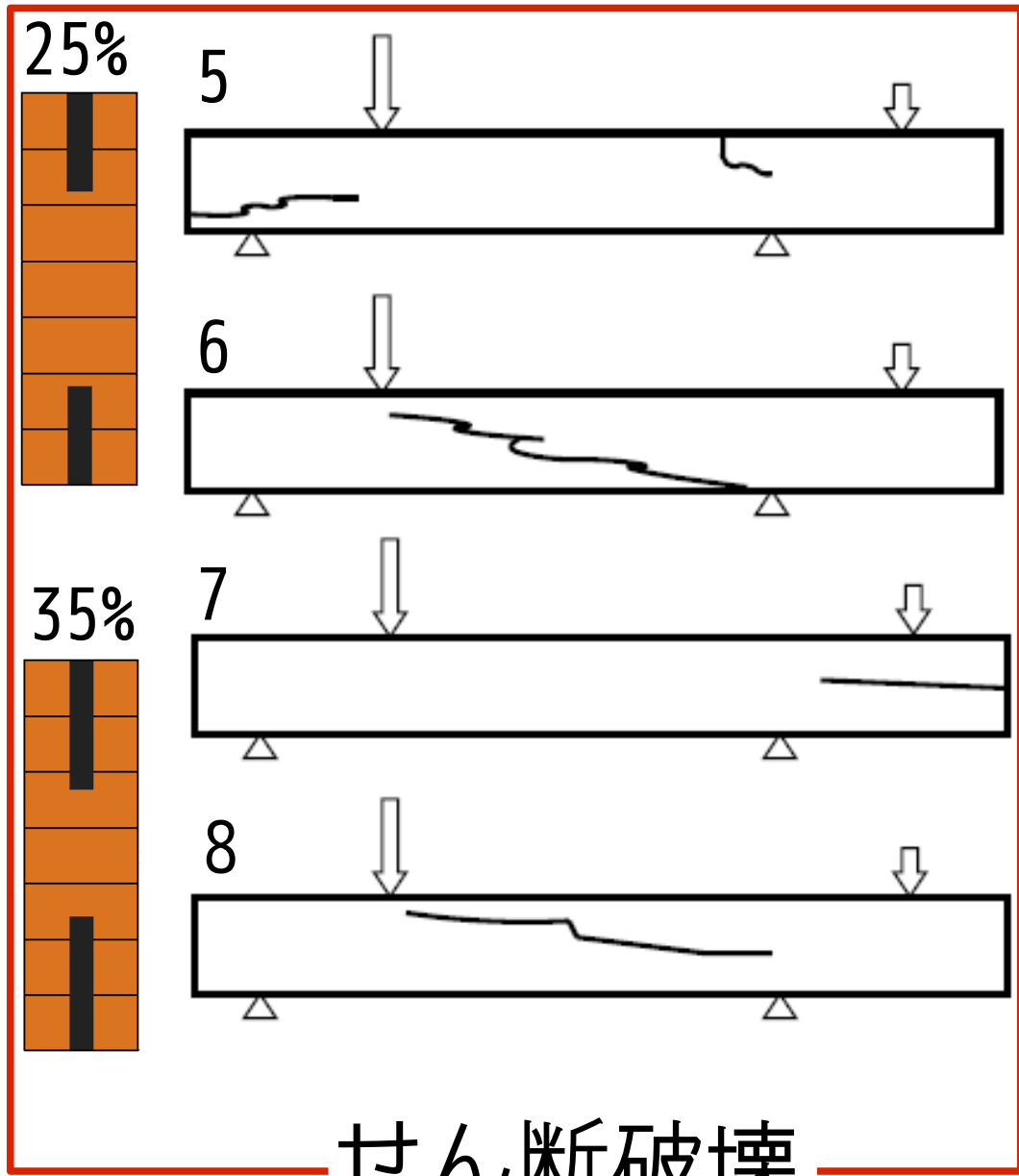
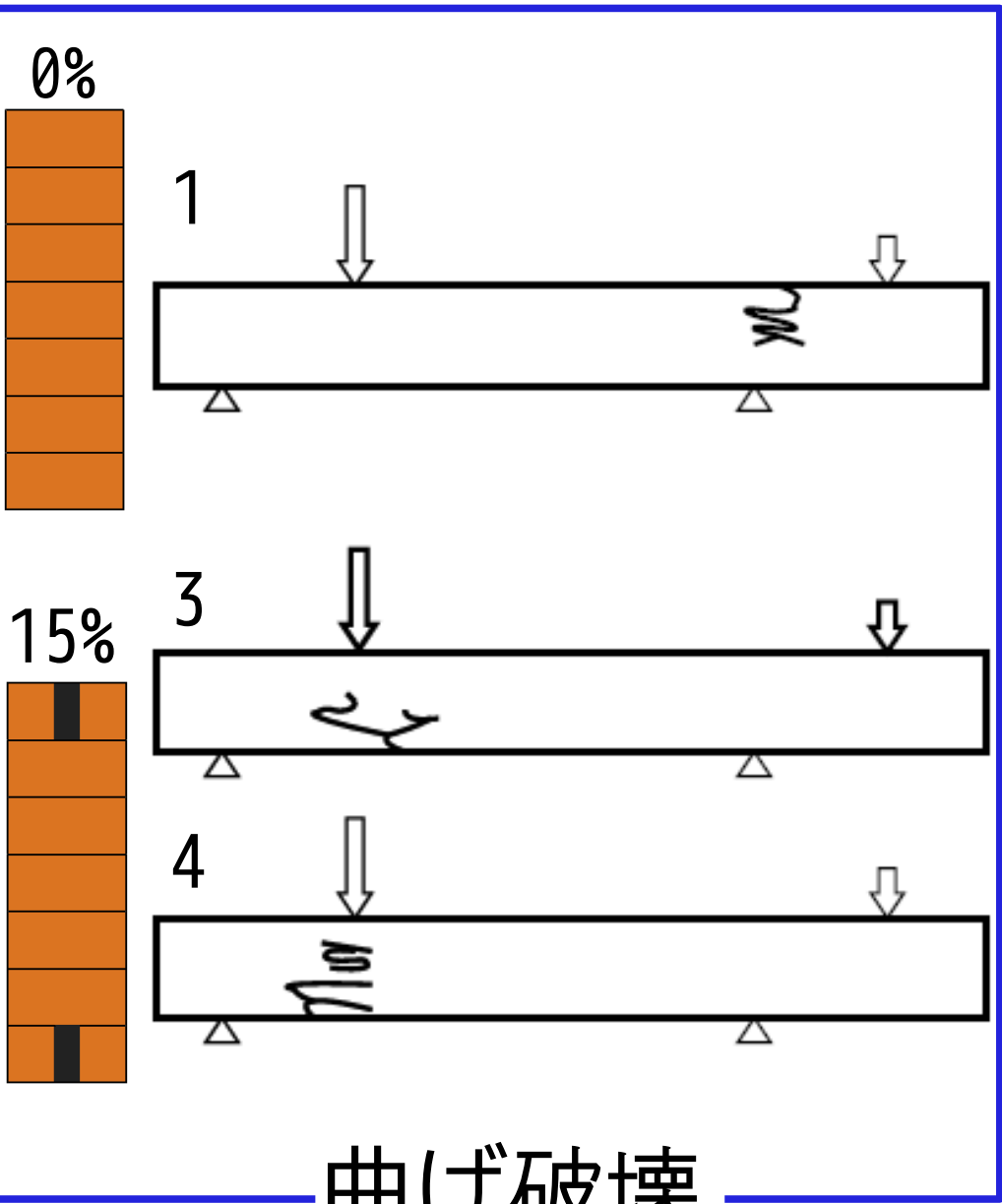
曲げ破壊



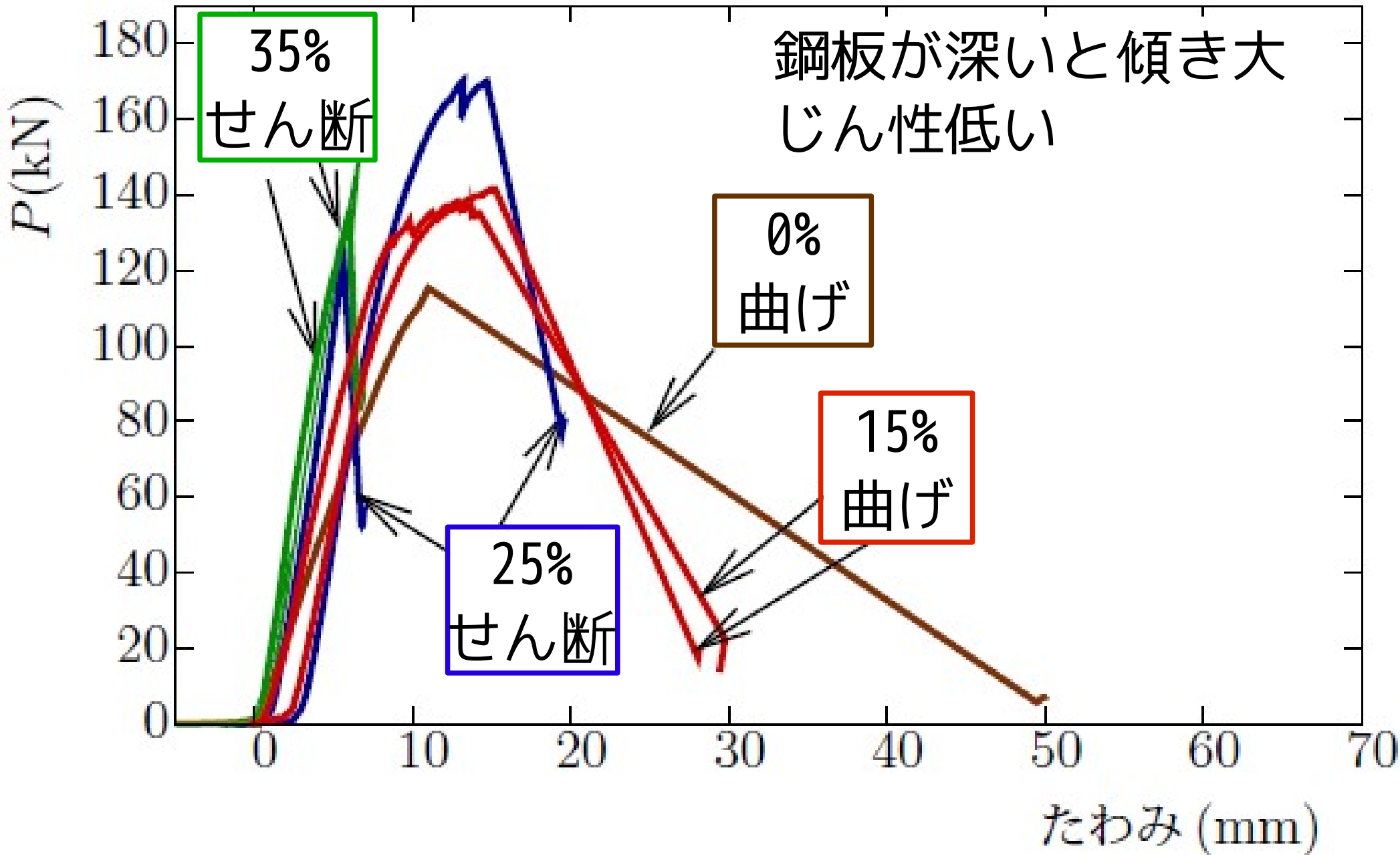
せん断破壊



スギの破壊形状

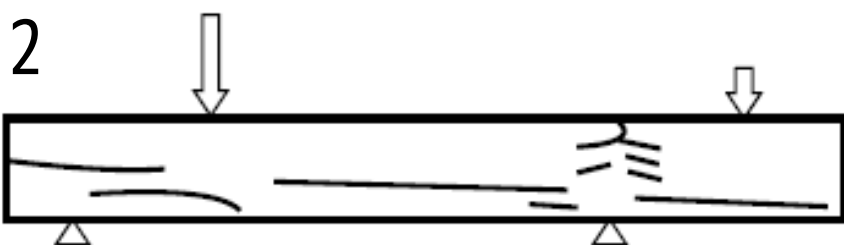
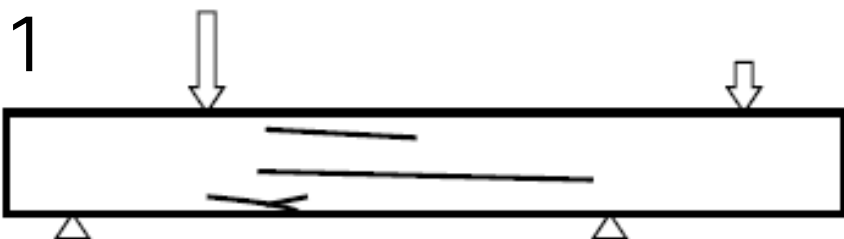


スギ破壊試験

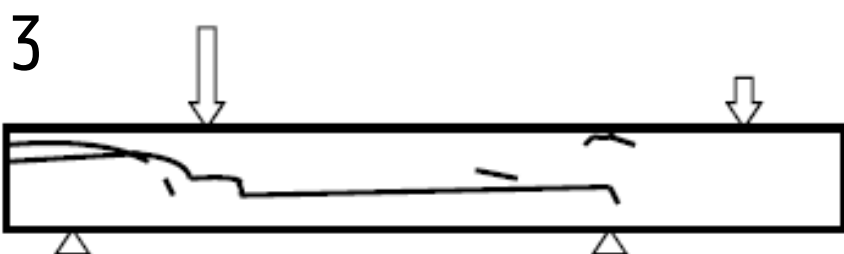


カラマツの破壊形状

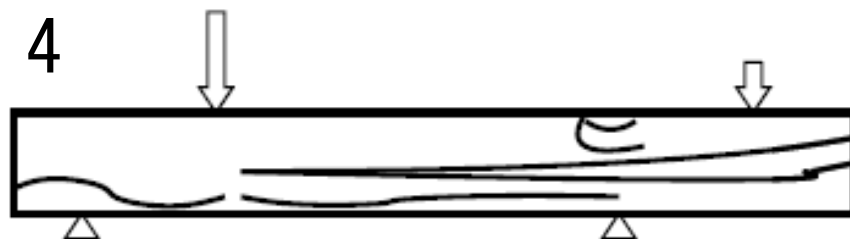
0%



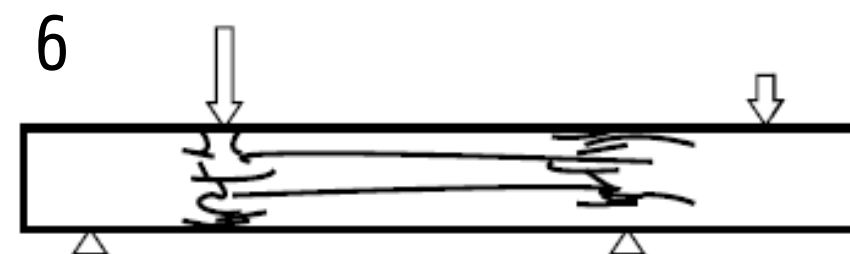
15%



25%



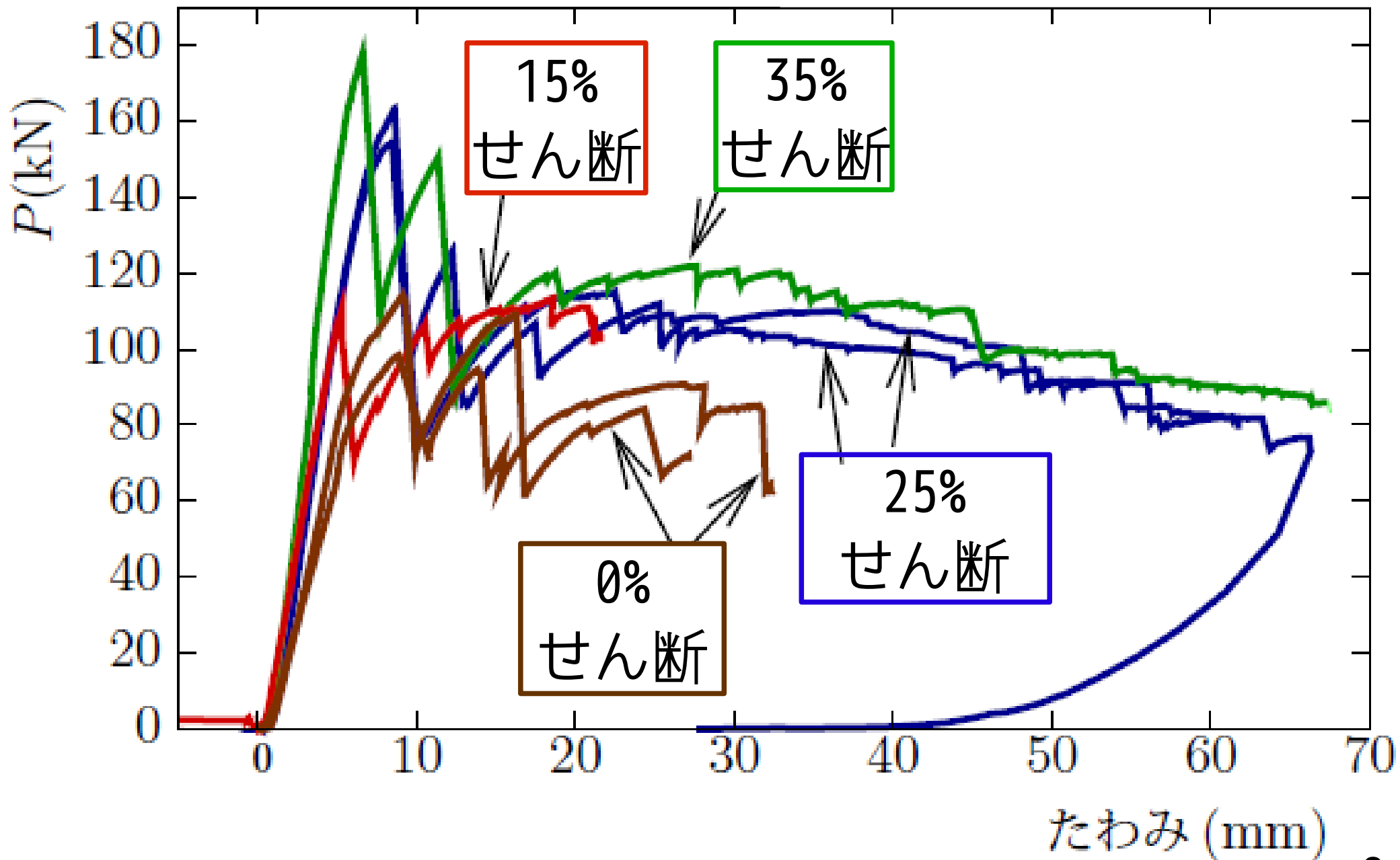
35%



せん断破壊

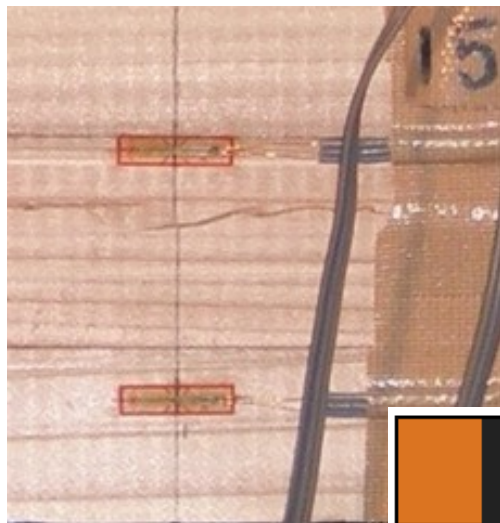
カラマツ破壊試験

鋼板が深いと傾き大
じん性あり

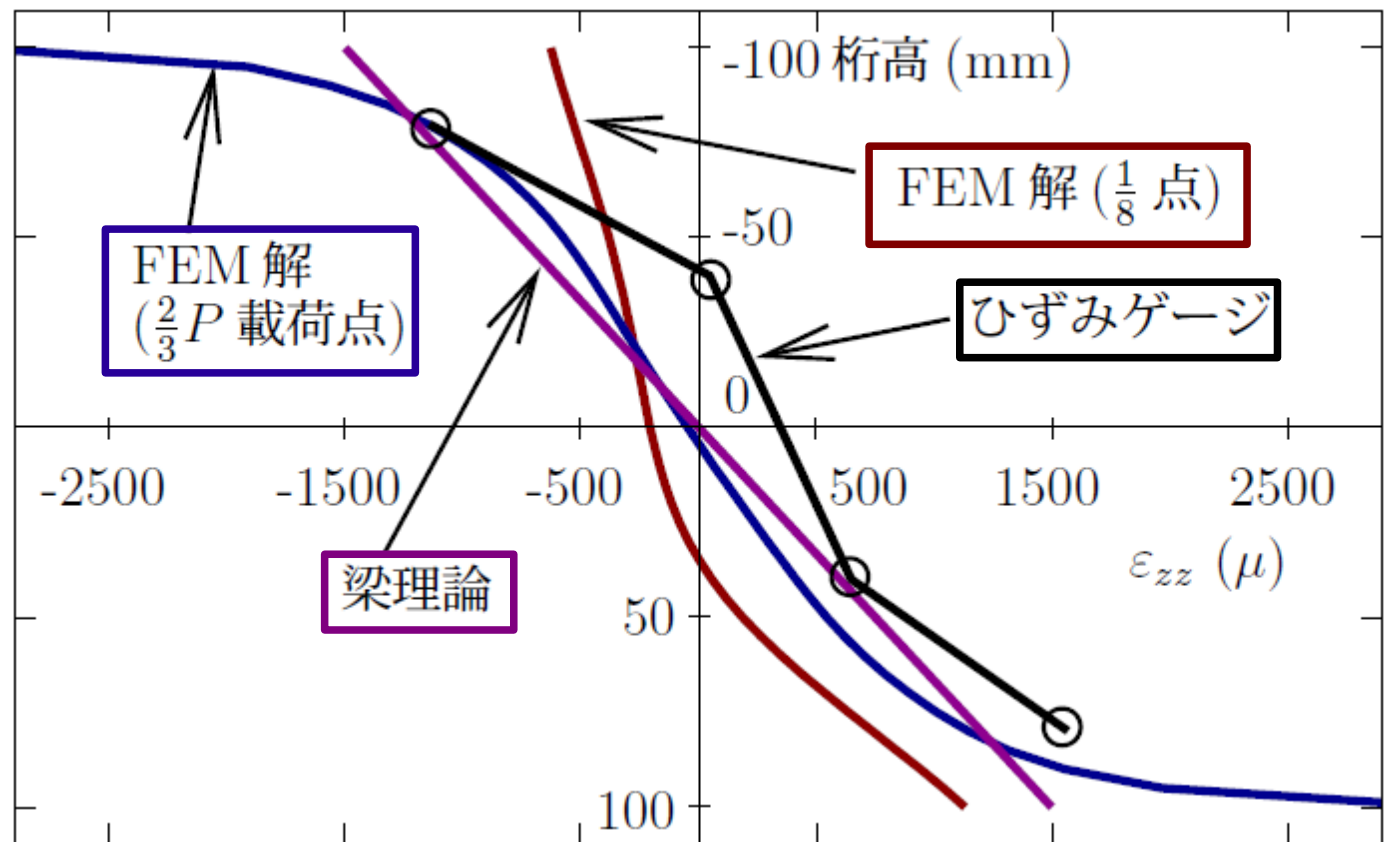
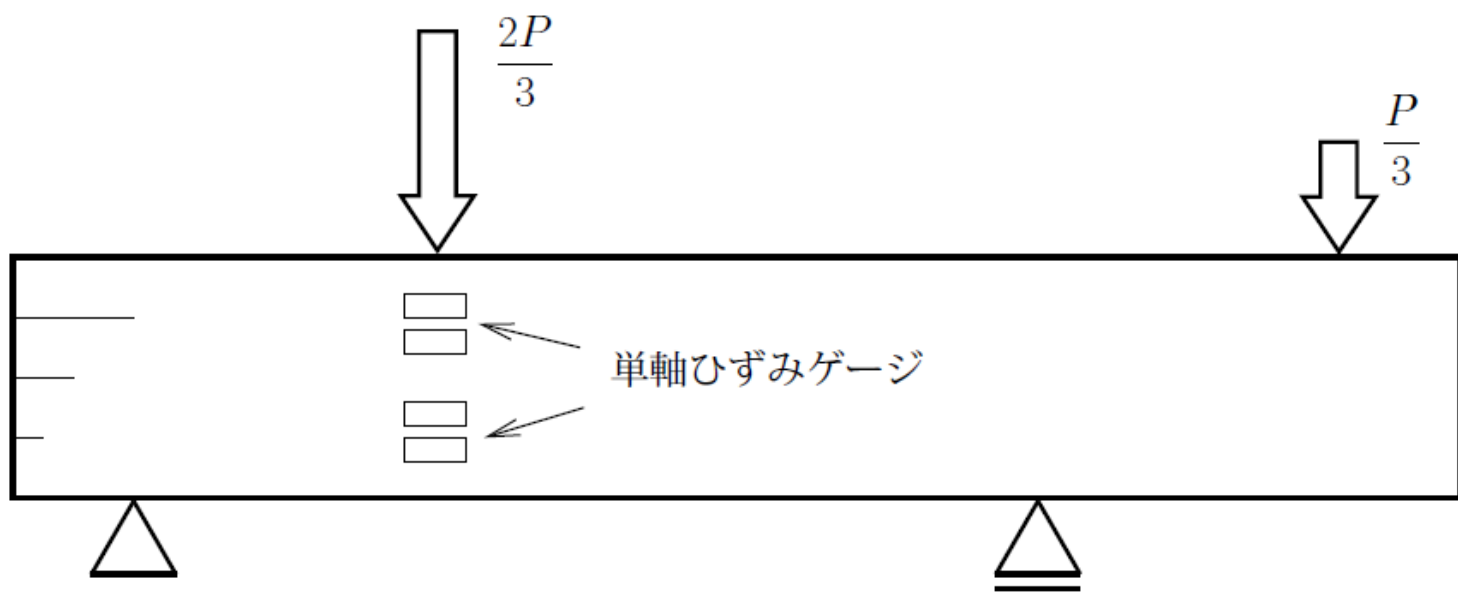


1 2 3 4 5 6 7 8 9 10 11 12 13 14 15 16

軸ひずみ分布

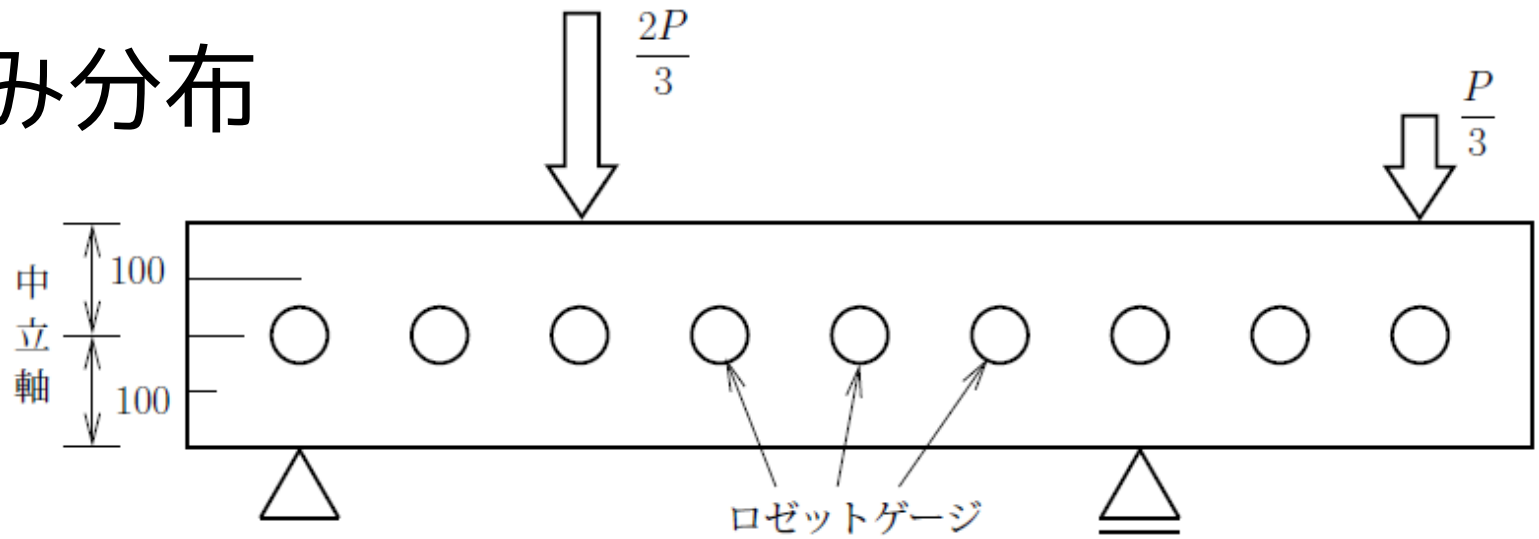
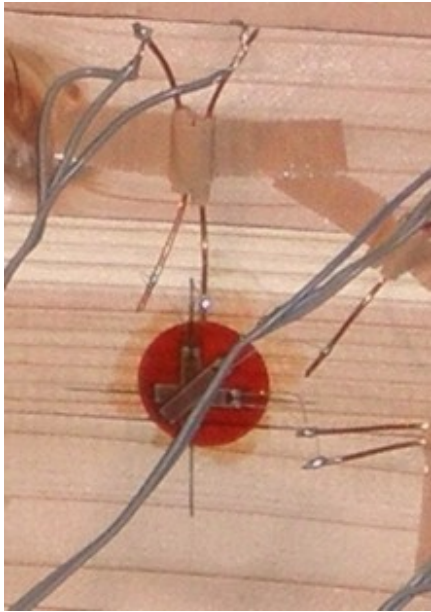


スギ試験体No.6

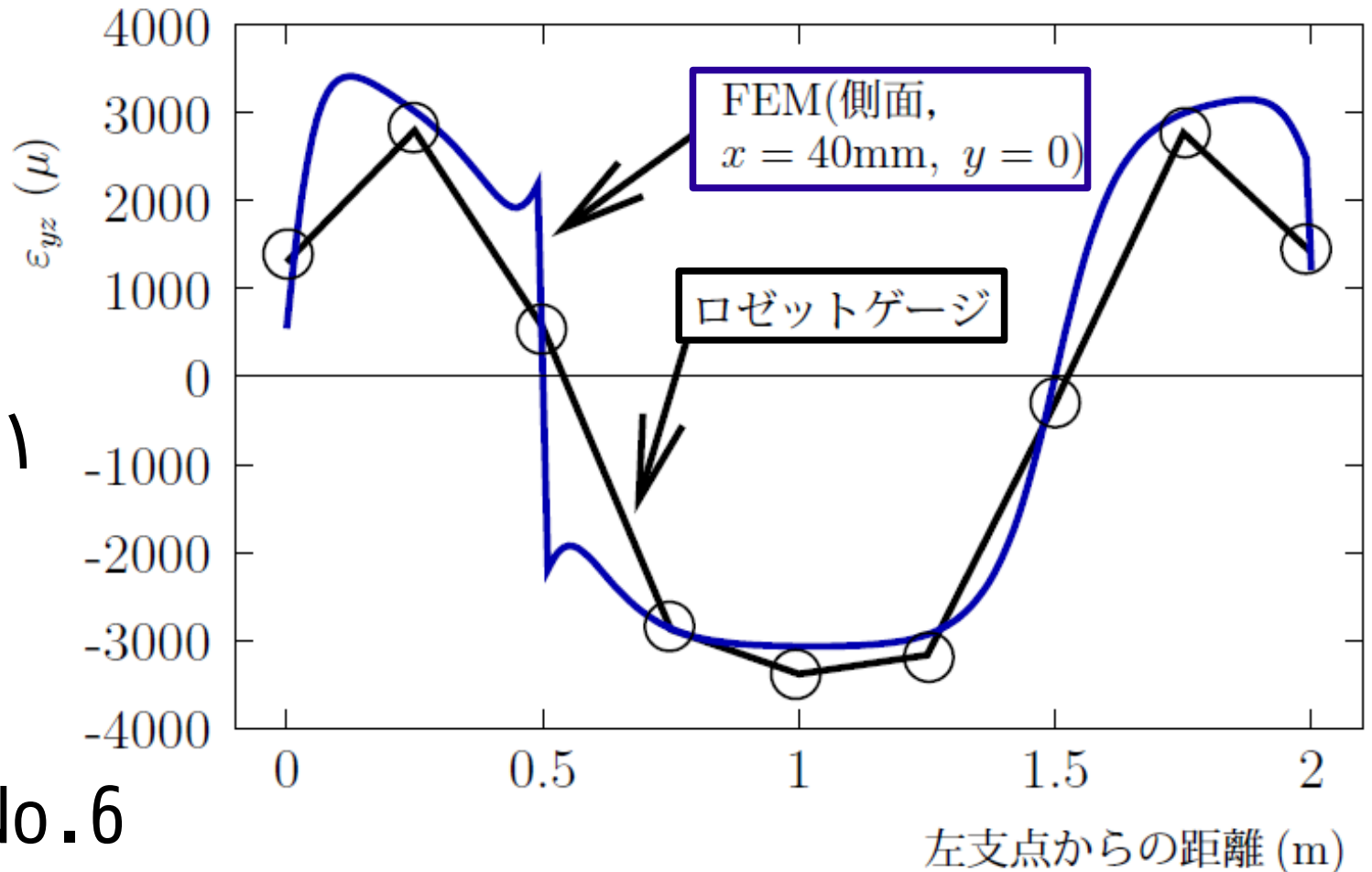


1 2 3 4 5 6 7 8 9 10 11 12 13 14 15 16 11

せん断ひずみ分布



実験値と
FEM値が近い



スギ試験体No.6

破壊時の応力

断面1次関数

$$\sigma_{max} = \frac{M_{max}}{I_n} y$$

$$\tau = -\frac{S(z)Q(y)}{b(y)I_n}$$

換算断面2次モーメント

スギ(E75-F270)

カラマツ(E105-F345)

$$F_b = 27[\text{MPa}]$$

$$F_b = 34.2[\text{MPa}]$$

$$F_{sx-x} = 3.0[\text{MPa}]$$

$$F_{sx-x} = 3.6[\text{MPa}]$$

No.	深さ [%]	P_{max} [kN]	σ_{max} [MPa]	τ_{max} [MPa]
1	0	115	36.0	3.60
3	15	137	18.4	3.85
4	15	141	22.0	4.47
5	25	170	18.7	5.13
6	25	124	16.2	3.98
7	35	150	17.6	4.68
8	35	135	14.3	3.77

No.	深さ [%]	P_{max} [kN]	σ_{max} [MPa]	τ_{max} [MPa]
1	0	98	30.3	3.03
2	0	114	36.1	3.61
3	15	113	23.6	3.48
4	25	163	35.3	5.64
5	25	154	29.8	4.77
6	35	177	25.7	4.75

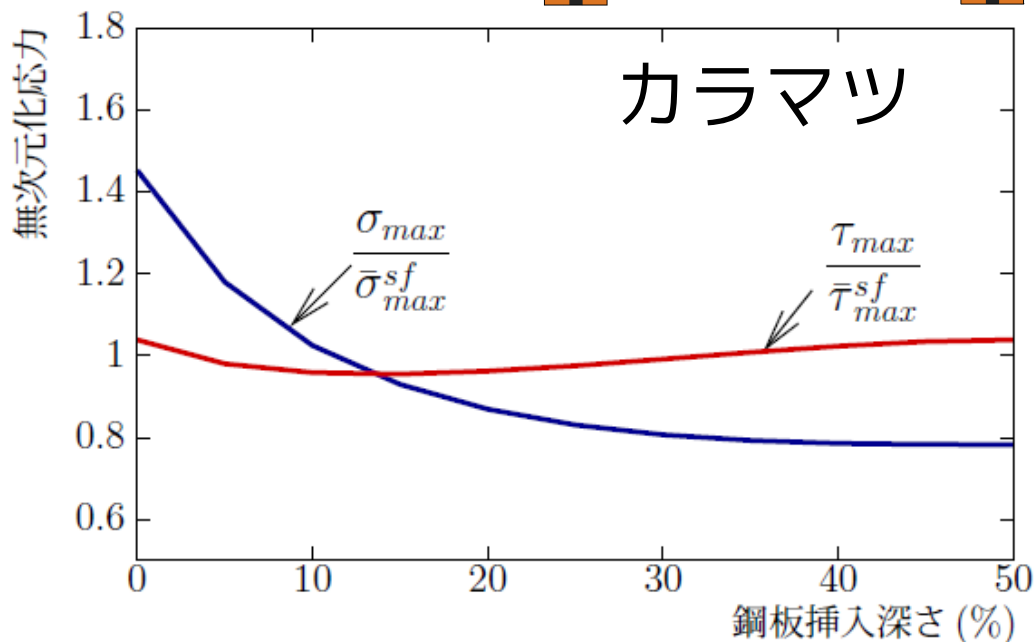
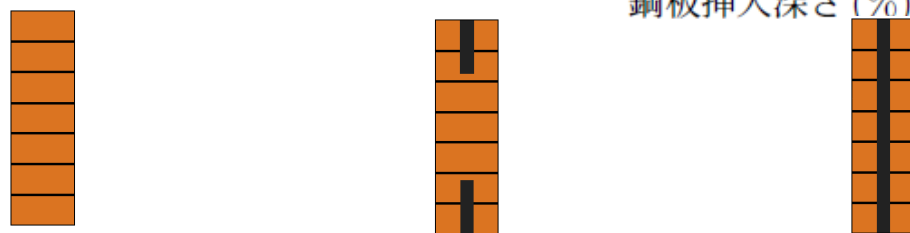
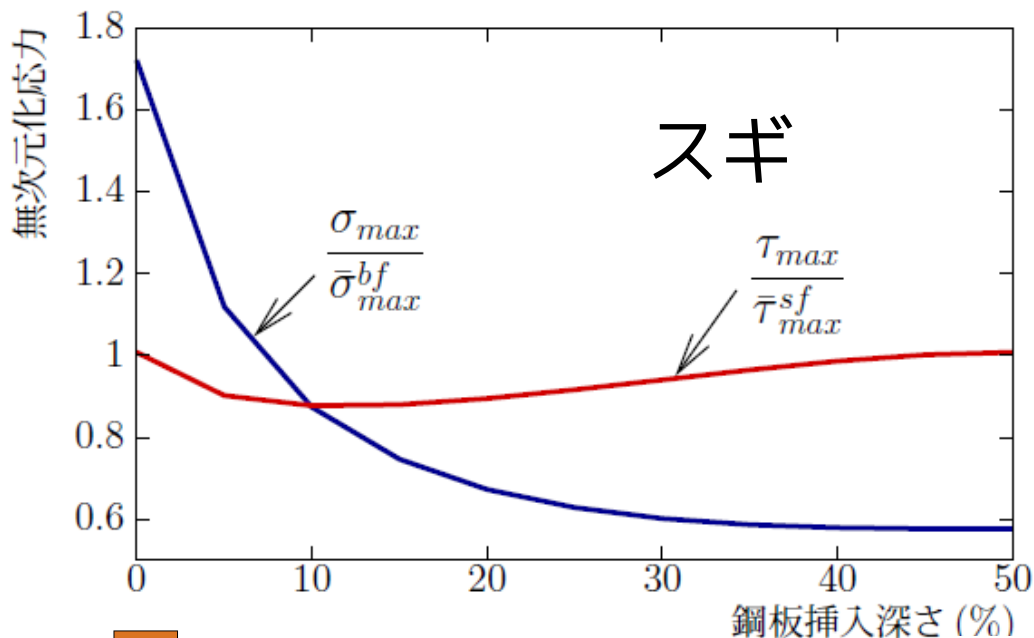
無次元化応力

荷重P=140kN

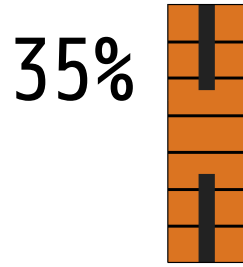
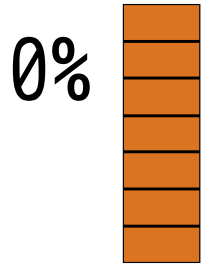
$$\sigma_{max} = \frac{M_{max}}{I_n} y$$

$$\tau = -\frac{S(z)Q(y)}{b(y)I_n}$$

10%前後から
せん断が支配的



まとめ



曲げ剛性



スギ3倍 マツ2倍

深さと相関あり

せん断弾性

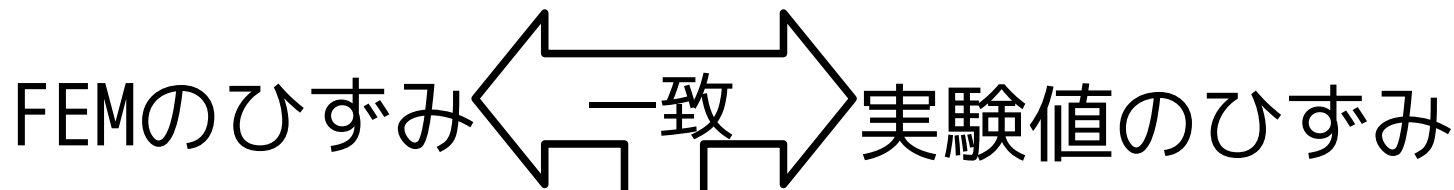


スギ・マツ深さと相関なし

じん性



スギ・改善無し マツ・改善



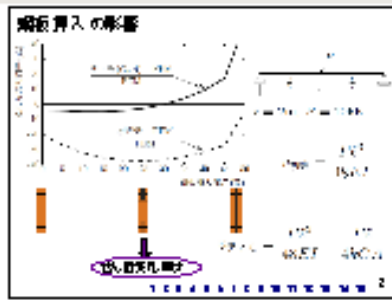
FEMや計算から

ひずみや応力を推測可能

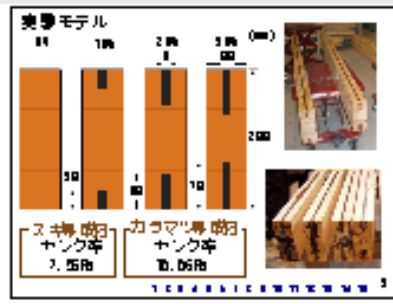
1



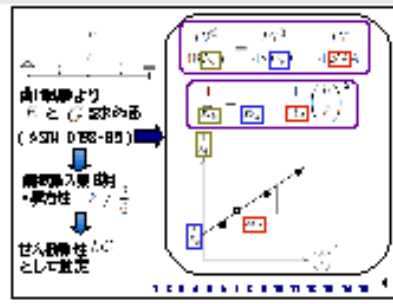
2



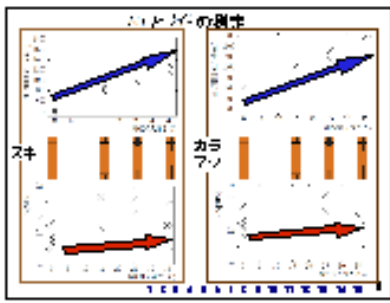
3



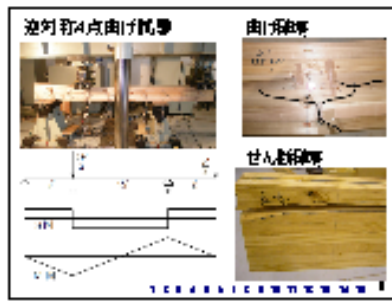
4



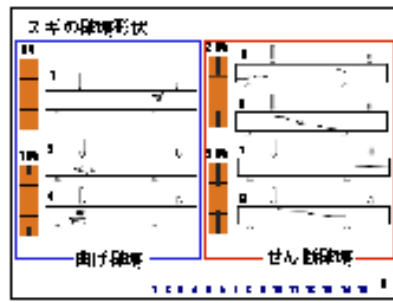
5



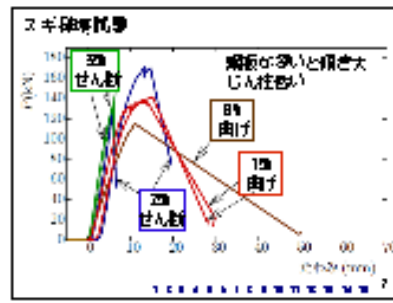
6



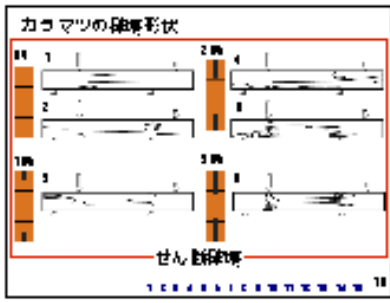
7



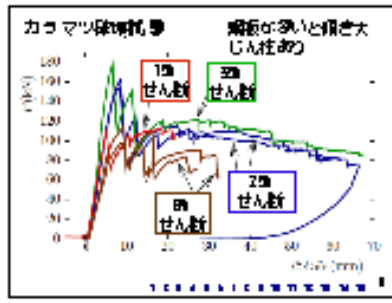
8



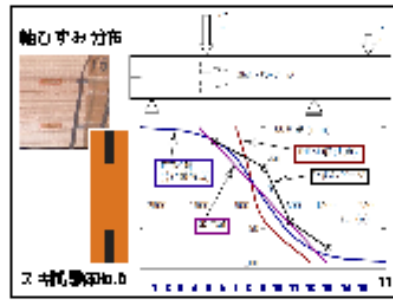
9



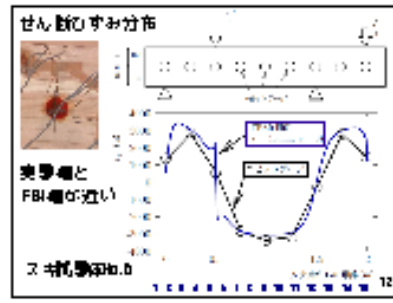
10



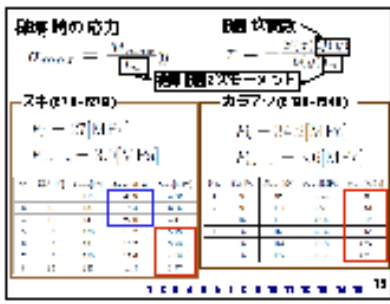
11



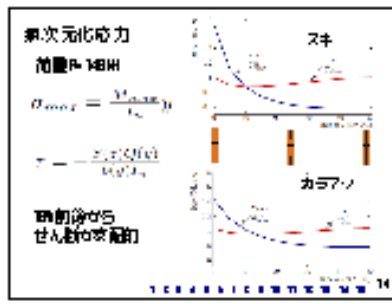
12



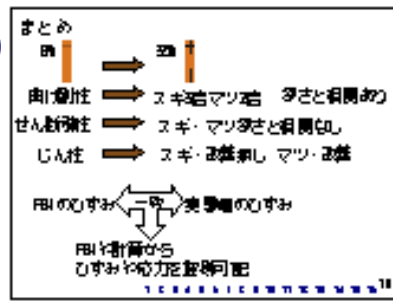
13



14

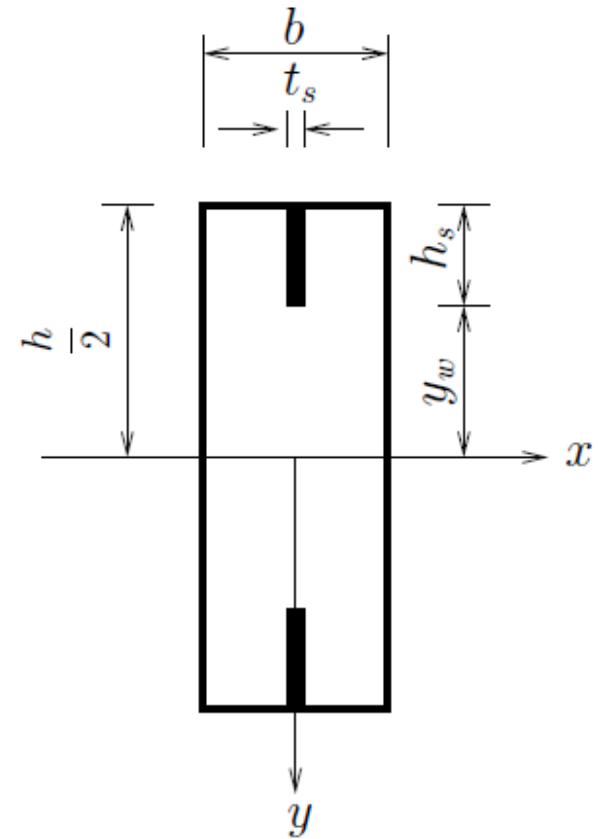
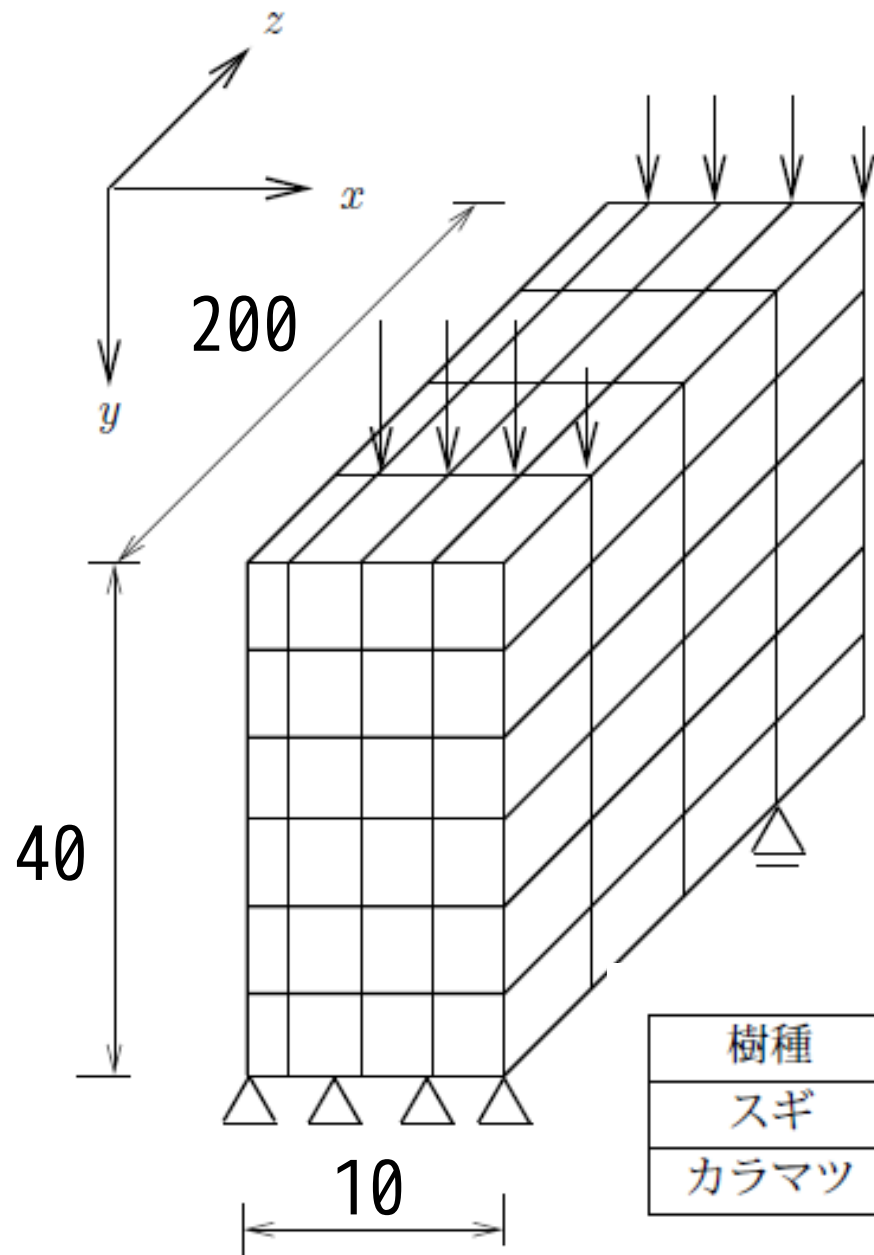


15



目次

FEM解析モデル



推定したEとGを使用

樹種	E_{zz} [GPa]	E_{xx}, E_{yy} [GPa]	G_{xy}, G_{xz}, G_{yz} [GPa]
スギ	7.49	0.30	0.442
カラマツ	16.6	0.66	0.538

$$I_n = \frac{E_{\text{木}} I_{\text{木}} + E_{\text{鋼}} I_{\text{鋼}}}{E_{\text{木}}}$$

$$b_n = (b - t_{\text{鋼}}) + \frac{E_{\text{鋼}}}{E_{\text{木}}} t_{\text{鋼}}$$

$$\tau_{max} = -\frac{E_{\text{木}} S(z)}{b(E_{\text{木}} I_{\text{木}} + E_{\text{鋼}} I_{\text{鋼}})} \left\{ \frac{b_n}{2} \left(y_{\text{木}}^2 - \frac{h^2}{4} \right) - \frac{b}{2} y_{\text{木}}^2 \right\}$$

$$\begin{pmatrix} \varepsilon_x \\ \varepsilon_y \\ \varepsilon_z \\ \gamma_{xy} \\ \gamma_{xz} \\ \gamma_{yz} \end{pmatrix} = \begin{bmatrix} \frac{1}{E_x} & \frac{-\nu_{xy}}{E_x} & \frac{-\nu_{xz}}{E_x} & 0 & 0 & 0 \\ \frac{\nu_{yx}}{E_y} & \frac{1}{E_y} & \frac{-\nu_{yz}}{E_y} & 0 & 0 & 0 \\ \frac{-\nu_{zx}}{E_z} & \frac{-\nu_{zy}}{E_z} & \frac{1}{E_z} & 0 & 0 & 0 \\ 0 & 0 & 0 & \frac{1}{G_{xy}} & 0 & 0 \\ 0 & 0 & 0 & 0 & \frac{1}{G_{xz}} & 0 \\ 0 & 0 & 0 & 0 & 0 & \frac{1}{G_{yz}} \end{bmatrix} \begin{pmatrix} \sigma_x \\ \sigma_y \\ \sigma_z \\ \tau_{xy} \\ \tau_{xz} \\ \tau_{yz} \end{pmatrix}$$

EI と kG の推定 スギ

試験体 No.	挿入深さ [%]	$E_w I_w$ [kNm ²]	合成 EI [kNm ²]
1	0	419	419
2	0	386	386
3	15	374	868
4	15	392	786
5	25	344	975
6	25	410	977
7	35	433	1154
8	35	440	1297

試験体	鋼板深さ [%]	kG_w [GPa]	合成 kG [GPa]
1	0	0.38	0.38
2	0	0.47	0.47
3	15	0.33	0.43
4	15	0.30	0.63
5	25	0.45	0.53
6	25	0.37	0.62
7	35	0.33	0.59
8	35	0.31	0.45

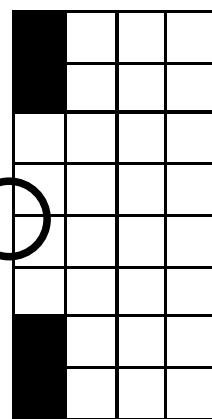
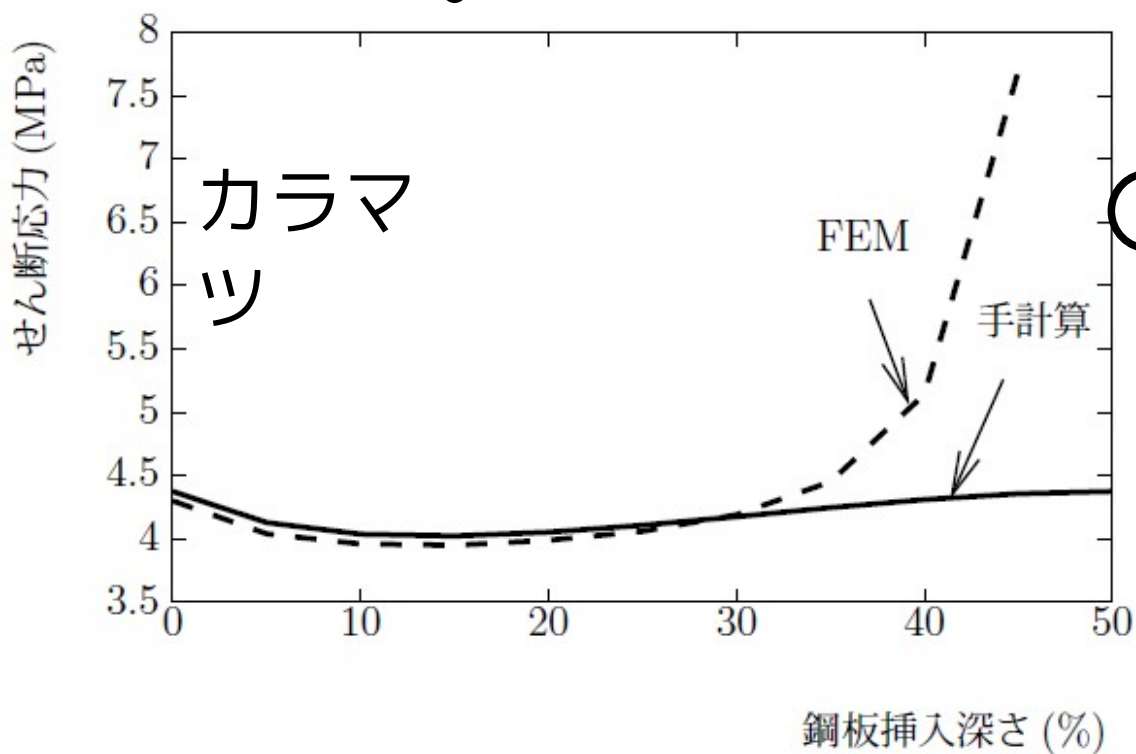
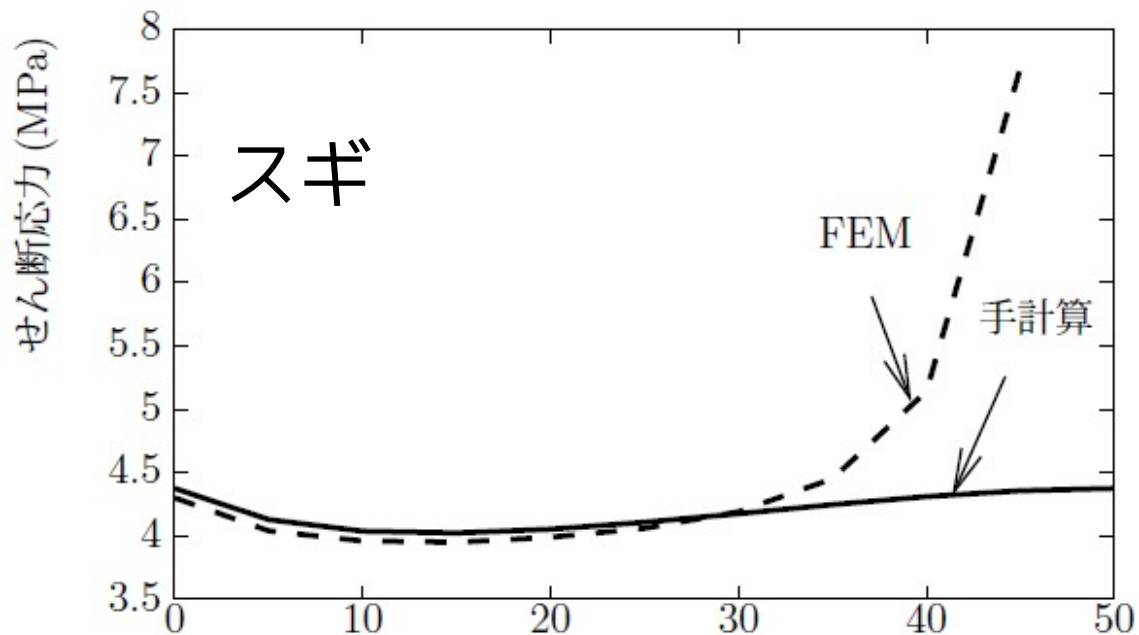
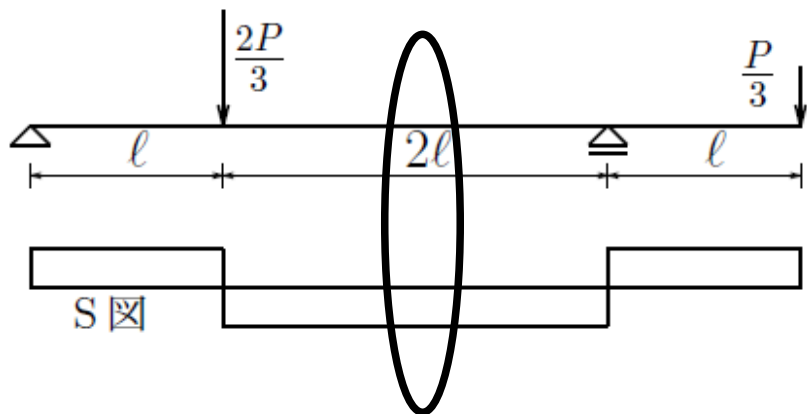
カラマツ

試験体 No.	挿入深さ [%]	$E_w I_w$ [kNm ²]	合成 EI [kNm ²]
1	0	906	906
2	0	894	894
3	15	822	1228
4	25	938	1362
5	25	941	1518
6	35	819	1766

試験体	鋼板深さ [%]	kG_w [GPa]	合成 kG [GPa]
1	0	0.42	0.42
2	0	0.37	0.37
3	15	0.44	0.55
4	25	0.47	0.63
5	25	0.43	0.53
6	35	0.56	0.50

1 2 3 4 5 6 7 8 9 10 11 12 13 14 15 16

支間中央 せん断応力

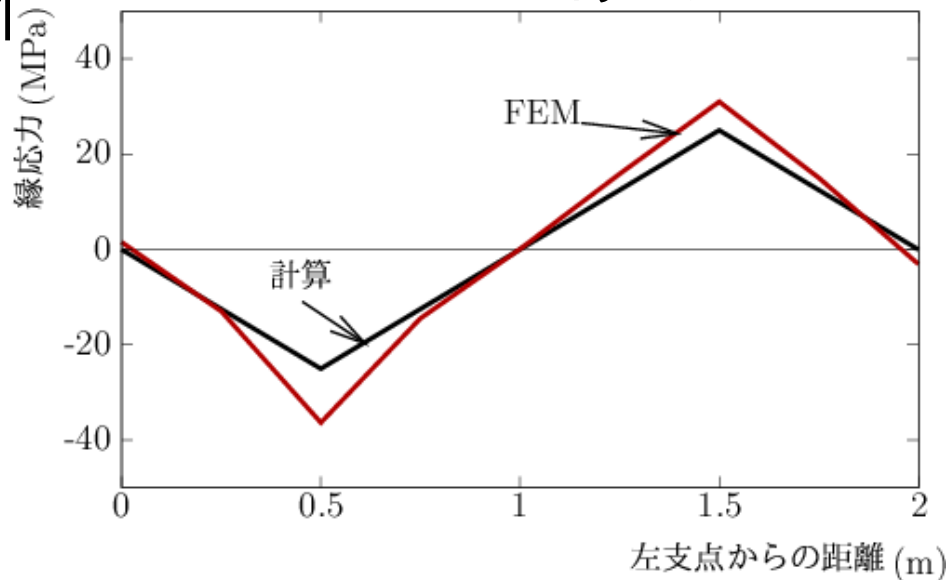


鋼板挿入深さ (%)

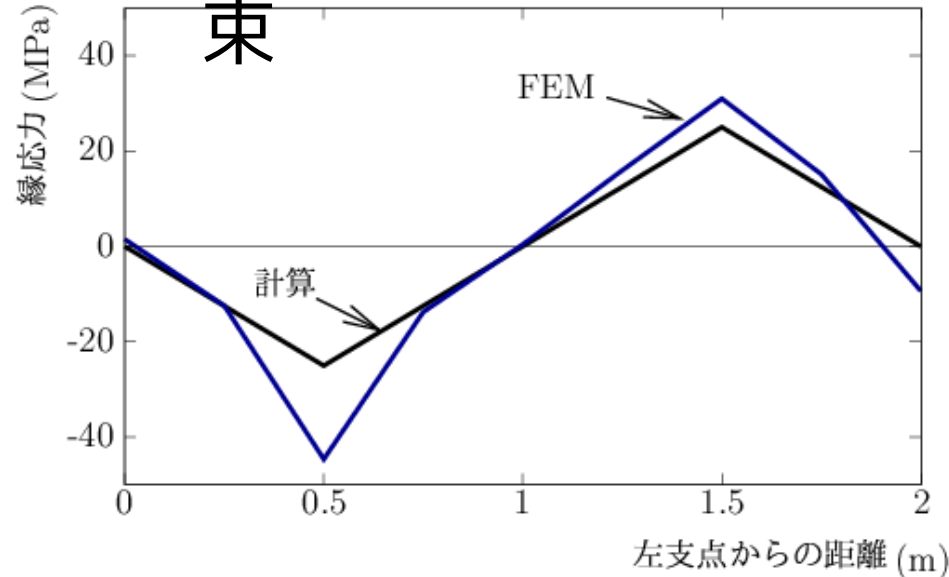
- ・ 35%位から合わない
- ・ 鋼板の影響?
応力集中?

載荷・拘束条

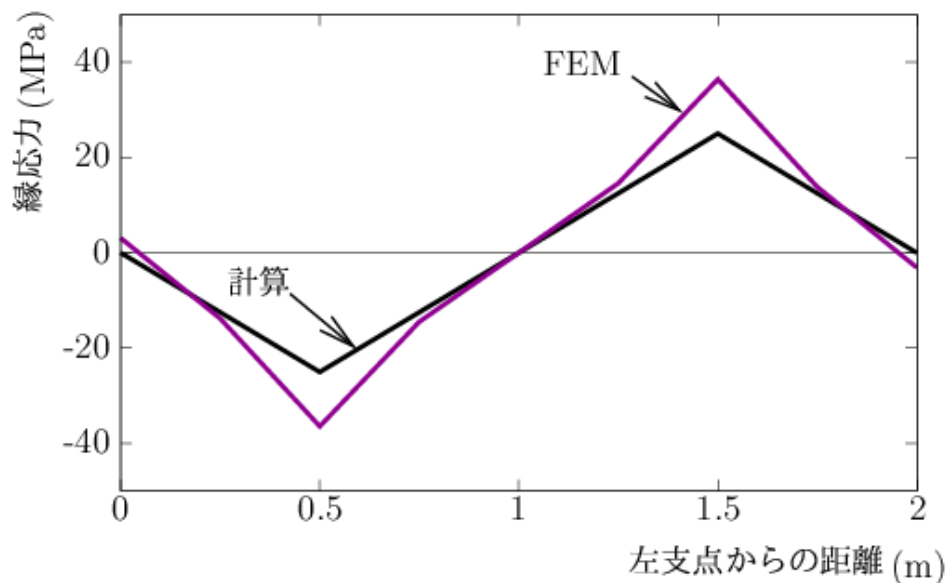
件 線載荷・下縁拘束



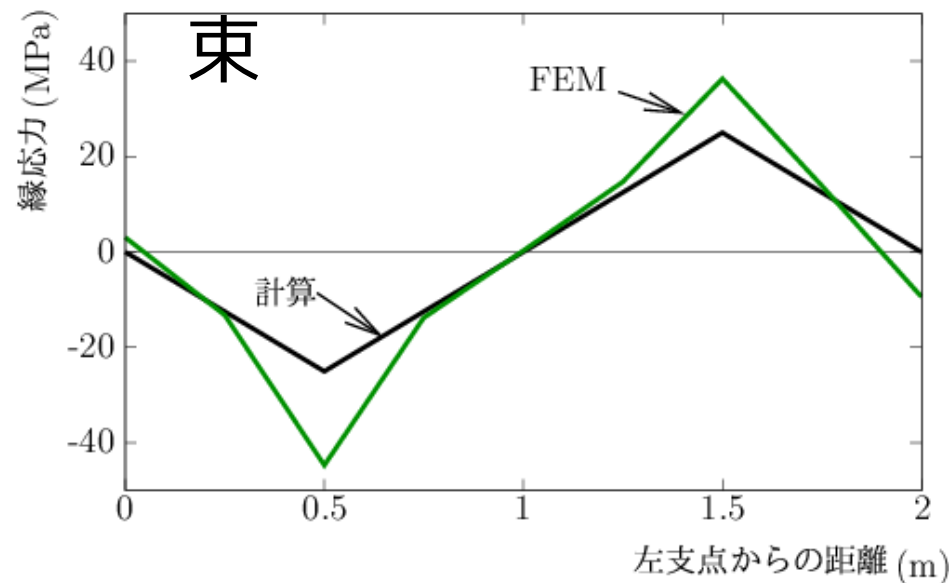
面積載荷・下縁拘束



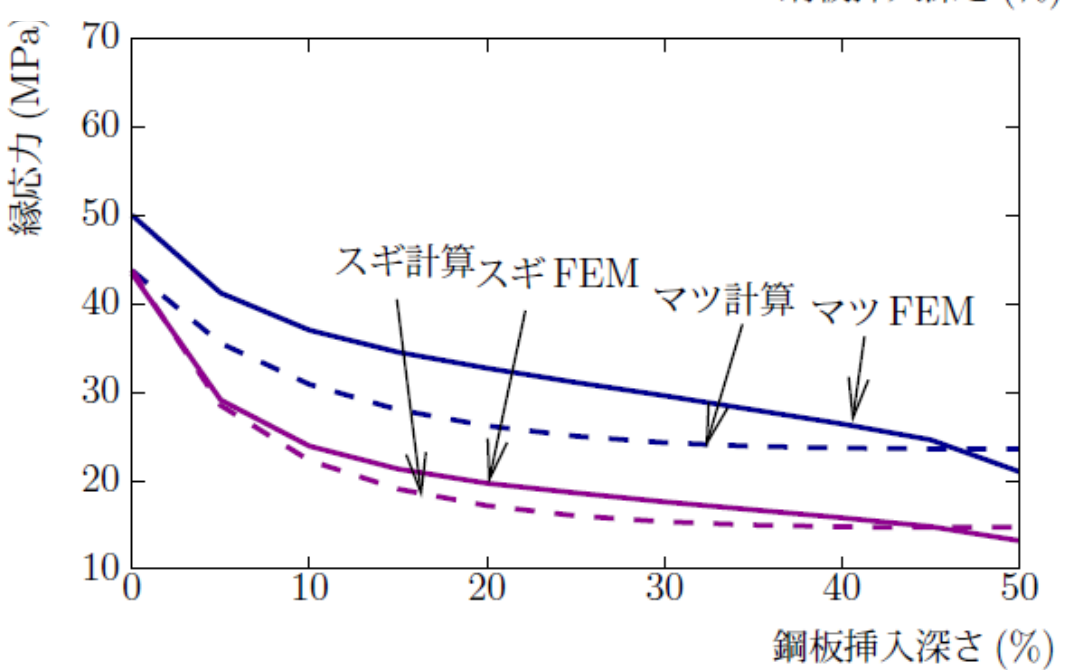
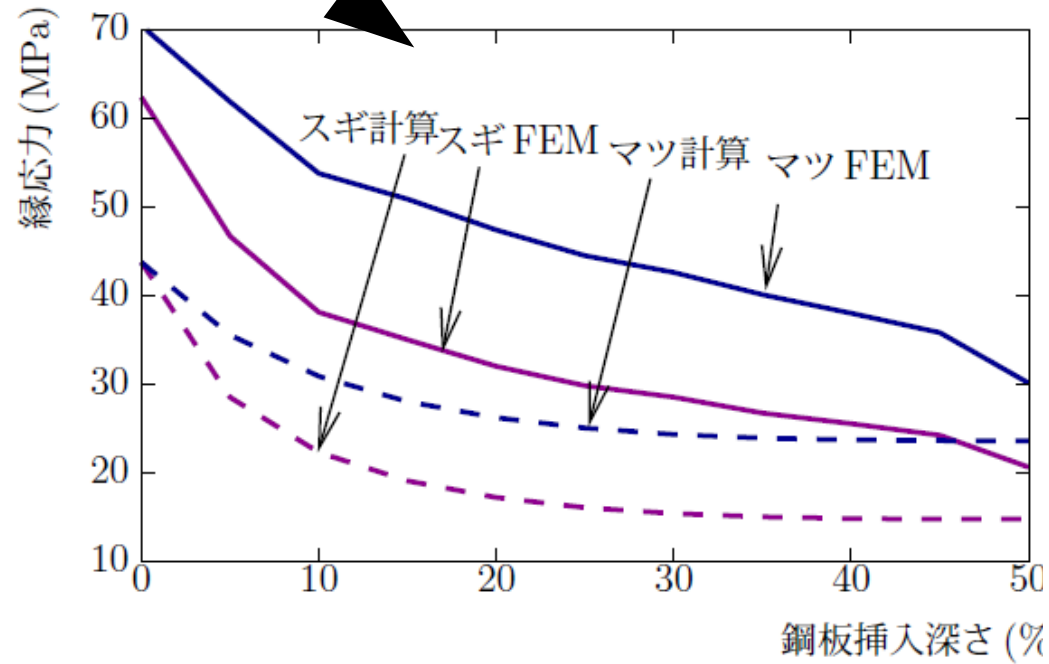
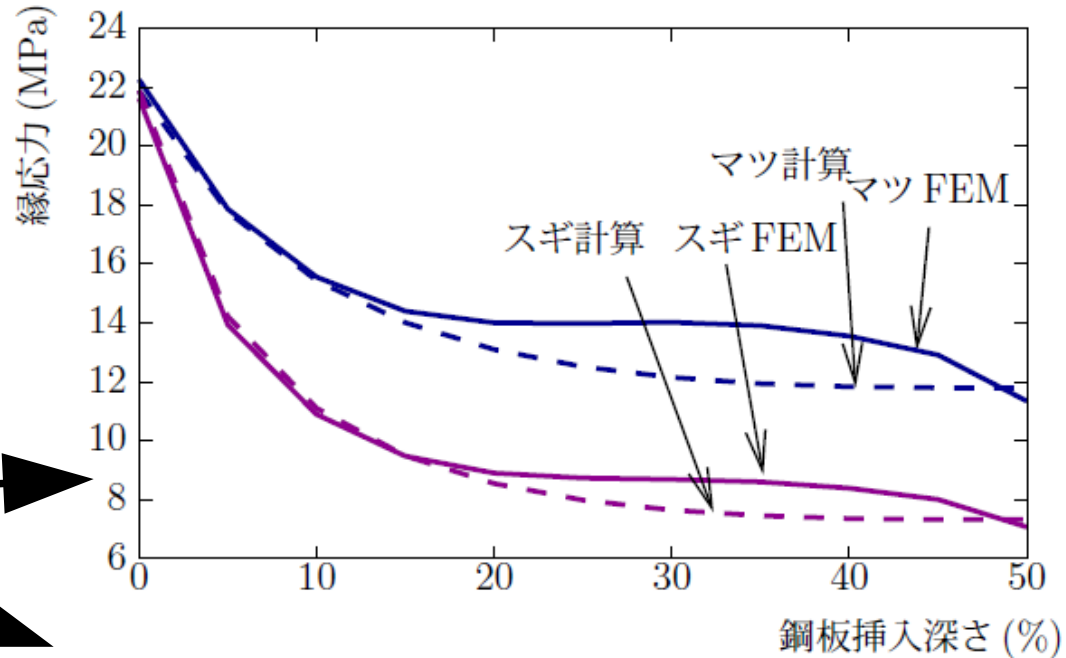
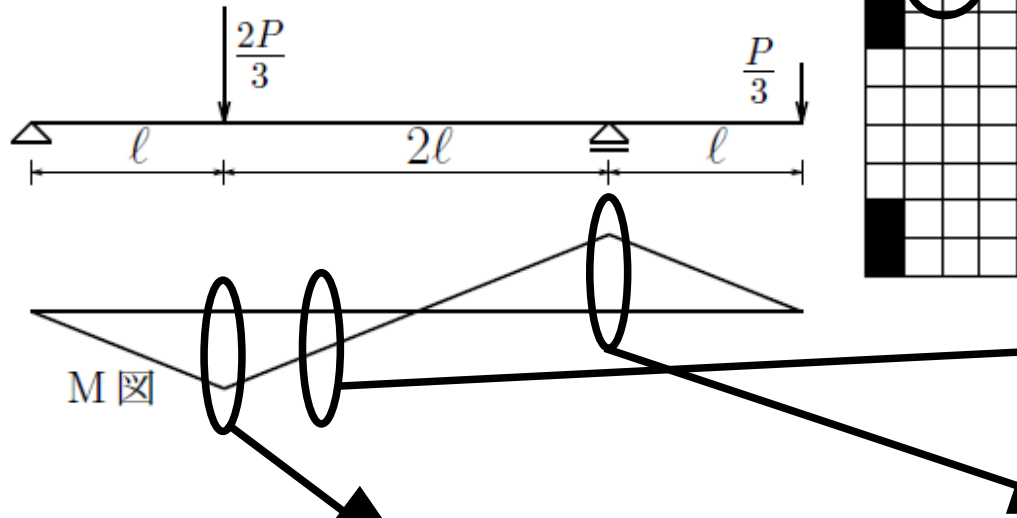
線載荷・中立軸拘束



面積載荷・中立軸拘束



縁応力



- ・ 載荷部、支点部には載荷や拘束の影響